

風2在該處對颱風1運動的作用力，亦即該二式中右邊第一項均可寫成與 ϕ_1 、 ϕ_2 及 ϕ_3 相對應的三項，唯由於我們假定颱風渦旋都是對稱的，即

$$\int_{S_1} \frac{\partial \phi_1}{\partial x} dx dy = \int_{S_2} \frac{\partial \phi_1}{\partial y} dx dy = 0 \dots \dots \dots \text{⑩}$$

所以

$$\begin{aligned} -\frac{1}{\pi R_i^2} \iint_{S_1} \frac{\partial \phi}{\partial x} dx dy &= -\frac{1}{\pi R_i^2} \iint_{S_1} \frac{\partial \phi_2}{\partial x} dx dy \\ -\frac{1}{\pi R_i^2} \iint_{S_1} \frac{\partial \phi_2}{\partial x} dx dy &= -\frac{1}{\pi R_i^2} \iint_{S_1} \frac{\partial \phi_3}{\partial x} dx dy \\ -\frac{1}{\pi R_i^2} \iint_{S_1} \frac{\partial \phi}{\partial y} dx dy &= -\frac{1}{\pi R_i^2} \iint_{S_1} \frac{\partial \phi_3}{\partial y} dx dy \dots \dots \dots \text{⑪} \\ -\frac{1}{\pi R_i^2} \iint_{S_1} \frac{\partial \phi_3}{\partial y} dx dy & \end{aligned}$$

其中右邊第一項為環境場的駛流作用，第二項則為第二個颱風對第一個颱風的駛流作用。

如果我們不考慮大範圍的駛流作用，僅考量颱風2對颱風1的作用，則有

$$\begin{aligned} \vec{F}_2 &= -\frac{1}{\pi R_i^2} \iint_{S_1} \frac{\partial \phi_2}{\partial x} dx dy \hat{i} \\ &\quad -\frac{1}{\pi R_i^2} \iint_{S_1} \frac{\partial \phi_2}{\partial y} dx dy \hat{j} \\ &= -\frac{1}{\pi R_i^2} \left[\int_0^{2\pi} \phi_2(t, \rho) \cos \alpha d\alpha \hat{i} \right. \\ &\quad \left. + \int_0^{2\pi} \phi_2(t, \rho) \sin \alpha d\alpha \hat{j} \right] \\ &= -\frac{1}{\pi R_i^2} \left[\int_0^{2\pi} \phi_2(t, \rho) \cos \beta d\beta \frac{x_2 - x_1}{r} \hat{i} \right. \\ &\quad \left. + \int_0^{2\pi} \phi_2(t, \rho) \cos \beta d\beta \frac{y_2 - y_1}{r} \hat{j} \right] \dots \dots \text{⑫} \\ & \end{aligned}$$

式中

$$\begin{aligned} A_2 &\equiv A_2(t, r, R_1) \\ &= -\frac{1}{\pi R_i^2} \int_0^{2\pi} \phi_2(t, \sqrt{r^2 + R_i^2 - 2rR_1 \cos \beta}) \\ &\quad \cos \beta d\beta \end{aligned}$$

 $\cos \beta d\beta$

~92~

反過來看颱風1對颱風2的作用，也可以由 α 點着手且與上述步驟無異，僅公式⑩與⑪中 ϕ_1 與 ϕ_2 互換，⑪式中 R_1 由 R_2 代替即可。由而可求得

$$\vec{F}_1 = A_1 \left(\frac{x_1 - x_2}{r} \hat{i} + \frac{y_1 - y_2}{r} \hat{j} \right) \dots \dots \dots \text{⑬}$$

其中

$$\begin{aligned} A_1 &\equiv A_1(t, r, R_2) \\ &= -\frac{1}{\pi R_i^2} \int_0^{2\pi} \phi_1(t, \sqrt{r^2 + R_i^2 - 2rR_2 \cos \beta}) \\ &\quad \cos \beta d\beta \end{aligned}$$

(2) F之特性分析：

假定颱風渦旋選定的等壓表上為圓的，則

$$\frac{\partial \phi_n}{\partial \rho} \geq 0, n = 1, 2$$

$$\frac{\partial^2 \phi_n}{\partial \rho^2} \leq 0, n = 1, 2$$

而 $A(t, r, R)$ 的積分項可做下述調整

$$\begin{aligned} &\int_0^{2\pi} \phi(t, \sqrt{r^2 + R^2 - 2rR \cos \beta}) \cos \beta d\beta \\ &= 2 \left[\int_0^{\pi/2} \phi(t, \sqrt{r^2 + R^2 - 2rR \cos \beta}) \cos \beta d\beta \right. \\ &\quad \left. + \int_{\pi/2}^{\pi} \phi(t, \sqrt{r^2 + R^2 - 2rR \cos \beta}) \cos \beta d\beta \right] \\ &= 2 \int_0^{\pi/2} (\phi(t, \sqrt{r^2 + R^2 - 2rR \cos \beta}) \\ &\quad - \phi(t, \sqrt{r^2 + R^2 + 2rR \cos \beta})) \cos \beta d\beta \\ &\leq 0 \end{aligned}$$

所以

$$A(t, r, R) \geq 0$$

亦即

$$\vec{F} \geq 0$$

這也就是說雙颱風間有一個大小如 A 而方向是由被影響颱風中心指向產生影響颱風中心的作用力。

其次，我們都知道颱風的範圍是有限的，因而當二颱風中心相去甚遠時，他對另一颱風的影響趨近於0，亦即 $r \rightarrow \infty$ 時

$$A_1 = A_2 = 0$$

同時，當二颱風中心重疊即 $r = 0$ 時

$$A(t, 0, R)$$

$$= -\frac{1}{\pi R} \phi(t, R) \int_0^{2\pi} \cos \beta d\beta = 0$$

$$\frac{\partial A}{\partial r} = \frac{\partial A}{\partial \rho} \frac{\partial \rho}{\partial r}$$

$$= -\frac{1}{\pi R} \int_0^{2\pi} \frac{\partial \phi}{\partial \rho}(t, \sqrt{r^2 + R^2 - 2rR \cos \beta})$$

$$\cdot \frac{1}{2} (r^2 + R^2 - 2rR \cos \beta)^{-\frac{1}{2}} \\ (2r - 2R \cos \beta)$$

$$= -\frac{1}{\pi R} \int_0^{2\pi} \frac{\partial \phi}{\partial \rho}(t, \sqrt{r^2 + R^2 - 2rR \cos \beta}) \cdot$$

$$\frac{r - R \cos \beta}{\sqrt{r^2 + R^2 - 2rR \cos \beta}} \cos \beta d\beta \dots \dots \text{⑭}$$

上式代表二颱風間作用力隨着二中心相距距離 r 的變化情形。由式可知

1 當 $r \rightarrow 0$ 時

$$\frac{\partial \rho}{\partial r} \rightarrow \cos \beta \Rightarrow$$

$$\frac{\partial A}{\partial r} = \frac{1}{\pi R} \frac{\partial \phi}{\partial \rho}(t, R) \int_0^{2\pi} \cos \beta d\beta$$

$$= \frac{1}{R} \frac{\partial \phi}{\partial \rho}(t, R) \geq 0$$

2 當 $r \rightarrow R \cos \beta$ 時

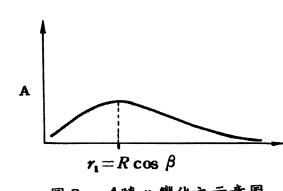
$$\frac{\partial A}{\partial r} = 0$$

$$\frac{\partial^2 A}{\partial r^2} = \frac{\partial}{\partial r} \left(\frac{\partial \phi}{\partial \rho}(t, R) \right) < 0$$

3 當 r 相當大時

$$A \rightarrow 0$$

這也就是說， A 值隨 r 的變特性如圖2所示。

圖2 A隨 r_1 變化之示意圖。

(3)二颱風的相對運動軌跡：

由以上推論可知，影響雙颱風相對運動的因素包括

1 ϕ_0 ，即駛流作用；2 f_1 與 f_2 的差異，即由於二颱風中心所在緯度不同所起的影響；3 兩颱風間的交互影響；
4 g_1 與 g_2 的差異，即由於各別颱風結構不同而致內力及垂直運動不同而發生的影響。

如果我們假設條件1、2及4是相同的，則公式⑤-⑧，⑥-⑨即可將條件獨立出來，亦即可進一步探討二颱風純因相互影響而起的相對運動。

將公式⑤減去公式③並乘以 $(x_2 - x_1)$ ；公式⑥減去公式④並乘以 $(y_2 - y_1)$ ；而後前一乘積減去後面的乘積可得

$$\frac{f_1}{2} \frac{dr^2}{dt} + \frac{d}{dt} [(x_2 - x_1) \frac{d}{dt} (y_2 - y_1)]$$

$$- (y_2 - y_1) \frac{d}{dt} (x_2 - x_1) = 0 \dots \dots \text{⑮}$$

同時，由圖1 可知

$$\begin{aligned} x_2 - x_1 &= r \cos \theta \Rightarrow \frac{d}{dt} (x_2 - x_1) \\ &= -r \sin \theta \theta' + \cos \theta r' \end{aligned}$$

$$\begin{aligned} y_2 - y_1 &= r \sin \theta \Rightarrow \frac{d}{dt} (y_2 - y_1) \\ &= r \cos \theta \theta' + \sin \theta r' \end{aligned}$$

其中

$$\theta' \equiv \frac{d\theta}{dt}; r' \equiv \frac{dr}{dt}$$

將⑮式對時間積分並將上述關係代入則得

$$\frac{f_1}{2} r^2 + (x_2 - x_1) \frac{d}{dt} (y_2 - y_1)$$

$$- (y_2 - y_1) \frac{d}{dt} (x_2 - x_1)$$

$$\equiv r^2 \left(\frac{f_1}{2} + \theta' \right) = C \dots \dots \text{⑯}$$

其中 C 為積分常數，亦即

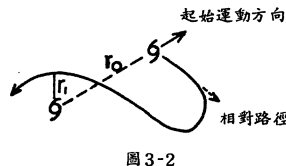


圖 3-2

3. 如起始時 $r_0 \gg r_1$, 即相互作用力不強, 如 r' 再比較大, 則二中心有可能在順轉遠離未停止前即脫離彼此的影響而恢復原來各自的運動, 如圖 3-2 中虛線箭頭所示。

$$\text{因 } \theta'_0 > 0, r'_0 > 0$$

即二颱風中心受到交互作用時是先開始逆鐘向旋轉。此時一開始的 r' 的符號無法由 $r'_0 (= 0)$ 來決定, 而需藉著 r'_0 的符號來決定。

$$\because r'_0 = -(A_1 + A_2)_0 + r_0(f_1\theta'_0 + (\theta'_0)^2) \geq 0$$

$$\therefore r' \equiv 0$$

即在 $\theta'_0 > 0$ 而 $r'_0 = 0$ 的起始條件下, 二交互作用之颱風其中心的相對路徑有下列三種:

1. 當 $r' > 0$ 時, 如 $r_0 > r_1$, 二中心先是逆轉遠離而後漸變為逆轉接近並於 r 越過臨界值 r_1 後再遠離, 相對路徑如圖 3-3 所示。此時如作用力不夠大則有可能逆轉遠離中分開(如圖 3-3 中虛線箭頭所示)。如 $r_0 = r_1$, 即開始時作用力最大, 二者相對路徑只有圖 3-3 中 r_1 後面的一段。如 $r_0 < r_1$, 二者相對路徑則如圖 3-4 所示。

2. $r' = 0$ 時, 二中心保持一定距離(應為臨界值 r_1)逆轉, 相對路徑如圖 3-5 所示。

3. $r' < 0$ 時, 如 $r_0 > r_1$, 二中心為逆轉近並於 r 越過 r_1 後轉為漸遠, 與圖 3-1 相同; 如 $r_0 \leq r_1$ 則為逆轉漸遠, 其相對路徑如圖 3-1 中 r_1 以後的一段。

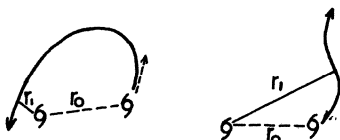


圖 3-3

圖 3-4

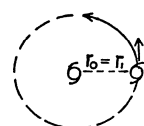


圖 3-5

$$\text{因 } \theta'_0 > 0, r'_0 > 0$$

此時二颱風是在逆轉且中心正遠離中受到交互作用的影響(二颱風或其中之一增強加大所致)。其相對路徑因 r_0 與 r_1 以及 θ'_0 的大小而有所不同。先討論 θ'_0 的狀況。由於 $r'_0 > 0$ 一開始之 r' 亦大於 0, 此時 θ' 的正負取決於 θ'_0 與 r' 的大小; 如 θ'_0 夠大(r'_0 較小), θ' 一開始即可為正值, 反之則先是負值而後轉為正值。其次再討論 r_0 與 r_1 的條件; 如 $r_0 > r_1$ 除非作用力不足, 二中心將由漸遠中轉為漸近並於到達 $r = r_1$ 後再轉為漸遠, 配以 θ' 的條件可得兩種相對路徑分別如圖 3-6 及 3-7 所示, 圖 3-7 所示路徑與圖 3-2 所示者類似只是順轉的時間短很多。如 $r_0 \leq r_1$ 則二中心會在反轉或順轉中遠離, 分別如圖 3-6 及 3-7 中虛線箭頭所示。

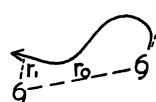


圖 3-6

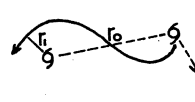


圖 3-7

$$\text{因 } \theta'_0 > 0, r'_0 < 0$$

相對運動的特性與(1)者相同。

$$(2) \theta'_0 < 0, r'_0 = 0$$

r' 的情況與(1)者相同, 即有大於、等於及小於 0 三種狀況。

1. $r' > 0$ 時, 如 $r_0 \leq r_1$, 二中心會順轉漸遠(如圖 3-8 中虛線箭頭所示); 如 $r_0 > r_1$, 則先順轉漸遠, 於 r' 變號後變為漸近並逐漸由順轉變為逆轉, 直到 $r = r_1$ 後在逆轉中遠離(如圖 3-8 所示); 如 $r_0 \gg r_1$, 則有可能於順轉中遠離與 $r_0 \leq r_1$ 之路徑相似只是二中心相離較遠而已。圖 3-8 的路徑為圖 3-2 與圖 3-7 路徑中間的一種。

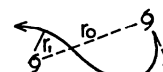


圖 3-8



圖 3-9



圖 3-10

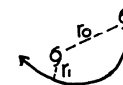


圖 3-11

2. $r' = 0$ 時, 二中心相對順轉, 其距離應為 r_0 。相對路徑如圖 3-9 所示。

3. $r' < 0$ 時, 如 $| \theta'_0 |$ 較大且 $r_0 > r_1$, 則二中心會由順轉漸近迅速變為逆轉漸近, 至 r 到達 r_1 後再遠離, 相對路徑如圖 3-10 所示。此路徑與圖 3-7 及圖 3-8 者類似。

反之, 如果 $| \theta'_0 |$ 較小, 則順轉漸近至 r_1 而後遠離, 相對路徑如圖 3-11 所示。如 $r_0 \leq r_1$, 則無論 $| \theta'_0 |$ 值的大小, 二中心都是順轉漸遠, 如圖 3-11 中虛線箭頭所示。

$$(3) \theta'_0 < 0, r'_0 < 0$$

由於 $r'_0 < 0$ 所以 $r' < 0$, 條件與(2)之 3 者相同, 即亦有如圖 3-10 及 3-11 所示的三種相對路徑。

$$(4) \theta'_0 < 0, r'_0 > 0$$

此一條件與(1)之一者相同, 即相對路徑如圖 3-8 所代表的三種相對路徑。

由以上分析可見, 即使僅僅只考慮交互作用, 二彼此影響雙颱風, 其相對路徑亦極複雜且多變, 不過, 由於交互作用的發生均應為循序漸增的, 即開始時 r_0 均應大於 r_1 , 也就是說, 上述討論的各種起始條件中 $r_0 \leq r_1$ 的都可略而不計, 準此, 上述初始條件可歸納為九類, 其中凡 $r'_0 = 0$ 者, 由於 r' 均有大於; 等於及小於 0 的三種狀況, 即有三種相對運動路徑。其次, 當 $r'_0 > 0, \theta'_0 > 0$ 時 θ' 的值有大於及小於 0 兩種狀況; 當 $\theta'_0 < 0$ 而 r'

小於 0 時, θ' 亦有大於及小於 0 兩種狀況, 兩者共增加四種相對路徑, 即在純粹交互作用下二颱風中心的相對運動共有九類十六種相對路徑, 共中有十種相對路徑的特徵是不相同的, 分別如圖 3-1, 3-2, 3-3, 3-5, 3-6, 3-7, 3-8, 3-9, 3-10 及 3-11 所示。其中圖 3-2, 3-7, 3-8 與 3-10 近似, 差異主要在順轉的一段。前面我們已經提到, 在交互影響下, 雙颱風的相對運動受制於初始條件, 即後續的運動受前面運動的影響, 同時, 兩個颱風本身的強弱結構都隨時在變, 所以可以想像得到, 即使在純粹的交互作用下, 雙颱風的相對運動也是復雜而又多變的。

四、理論與實際路徑的比較及討論

在研究期內雙颱風個案達 142 個, 其中不乏旋轉明顯的實例, 但由於實際的雙颱風運動多少會受到駛流的影響, 同時上述理論分析也是基於一種簡單的設想, 故實際路徑與理論路徑的差異一定很大。此處僅能列舉一些近似的討論之。

圖 4-1 為民國 59 年 9 月上旬颱風 Ellen 相對於颱風 Fran 的運動路徑, 相對旋轉達 240° 以上, 其運動特徵與圖 3-1 類似, 即起始條件為 $\theta'_0 = r'_0 = 0$ 。二颱風中心逆轉漸近至 $r = r_1$, 臨界值後略遠離, 估計在 Ellen 颱風中心消失前, 二颱風中心相距僅約 180 里。



圖 4-1 59 年 9 月 Ellen 與 Fran 颱風

圖 4-2 為民國 61 年 7 月上旬 Rita 與 Faye 颱風的相對運動路徑, 其運動特徵與圖 3-2 者類似, 即起始條件應為 $\theta'_0 = 0$ 及 $r'_0 > 0$, 運動中 θ' 及 r' 均會由小於 0 變為大於 0, 並於 r 到達 r_1 後 r' 再變為大於 0。民國 69 年 5 月中旬的 Dom 與 Ellen 的相對路徑(圖 4-3)亦屬同類。

圖 4-4 為民國 53 年 8 月中旬 Kathy 與 Marie

73年8月

氣象預報與分析

第100期

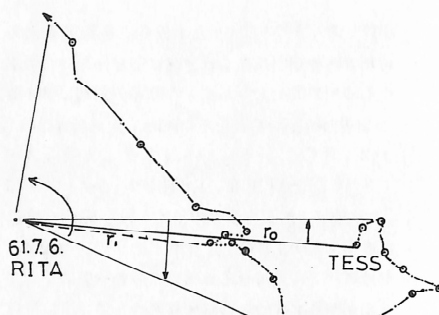


圖 4-2 61 年 7 月 Rita 與 Tess 颶風

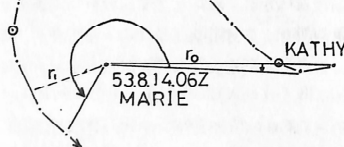


圖 4-4 53 年 8 月 Kathy 與 Marie 颶風

二颶風的相對路徑，圖中 Kathy 相對於 Marie 先順轉並迅即變為逆轉，與圖 3-7，3-8 或 3-10 所示者相同，與圖 4-2（及圖 3-2）的差異在於順轉的時間甚短，顯示此種相對運動的初始條件有三種，即(1) $\theta'_0 > 0$ 且較大， $r'_0 > 0$ （圖 3-7）；(2) $\theta'_0 < 0$ 及 $r'_0 = 0$ 中 $r' > 0$ 轉為 $r' < 0$ 的一種（圖 3-8）及(3) $\theta'_0 < 0$ （且 $|\theta'_0|$ 較大）及 $r'_0 = 0$ 中 $r' < 0$ 的一種（如圖 3-10）。

圖 4-5 為民國 61 年 7 月上旬颶風 Phyllis 與 Rita 的相對路徑，其特徵大致與圖 3-6 所示者類似，其起始條件應為 $\theta'_0 > 0$ 且 $r'_0 > 0$ 且 $|\theta'_0|$ 有較大的值。相對運動中二中心先是在漸漸遠離中逆轉，而後變為漸近中逆轉，於 r 到達 r_1 後又恢復遠離。

~ 98 ~

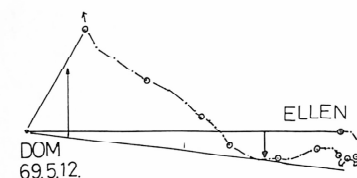


圖 4-3 69 年 5 月 Dom 與 Ellen 颶風

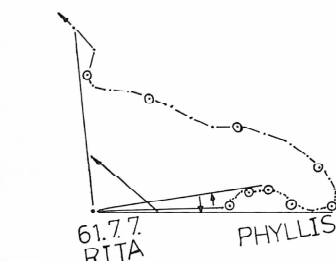


圖 4-5 61 年 7 月 Phyllis 與 Rita 颶風

民國 65 年 7 月下旬的雙颶風 Violet 與 Anita 相對旋轉約 50° ，不算很顯著的個案，但其相對路徑（見圖 4-6）與圖 3-3 相似，即相對逆轉漸遠後變為逆轉漸近，並於 r 到達 r_1 後又遠離。如二颶風旋轉時間長一些會更相似。此個案的起始條件應為 $\theta'_0 > 0$ 及 $r'_0 = 0$ ，而 r' 先是大於 0 後來又轉為小於 0，至 $r = r_1$ 後再變為大於 0 的一種。民國 67 年 10 月上旬的 Nina 與 Ora 的相對路徑（圖 4-7）如不計最後 24 小時的移動，與圖 3-3 更相似。民國 72 年 12 月初的 Abby 與 Ben 亦屬同類（圖略）。

圖 4-8 為民國 48 年 10 月中旬雙颶風 Charlotte 與 Dinah 的相對路徑，二颶風中心為漸近，至 $r = r_1$ 後則遠離，屬圖 3-11 所示，其起始條件為 $\theta'_0 > 0$ 及 $r'_0 < 0$ ，由於 $|\theta'_0|$ 較大致二颶風中心會在順轉中接近。

Y

73年8月

氣象預報與分析

第100期

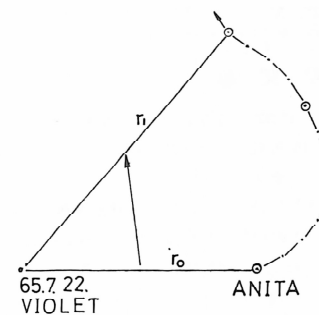


圖 4-6 65 年 7 月 Violet 與 Anita 颶風

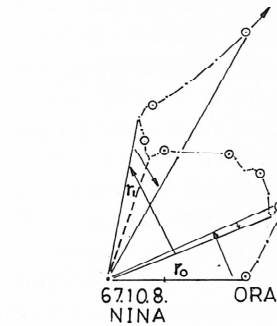


圖 4-7 67 年 10 月 Nina 與 Ora 颶風

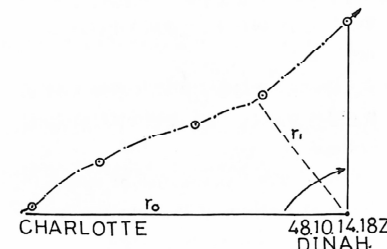


圖 4-8 48 年 10 月 Charlotte 與 Dinah 颶風

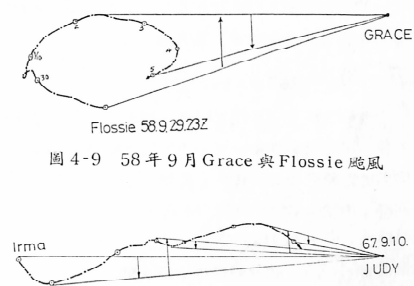


圖 4-9 58 年 9 月 Grace 與 Flossie 颶風



圖 4-10 67 年 9 月 Judy 與 Irma 颶風

由以上分析可見，雙颶風在純粹交互作用下各種理論上的路徑在實際上都會發生，且相似性很高，顯示我們的簡單理論至少在定性上是可用的。但根據實際與理論的對比可知，理論上存在的順轉及逆轉圓形相對路徑（圖 3-5 及 3-9），在分析的 25 年資料中尚未出現過，當然這是必然的結果，因為在實際狀況中我們假設的颶風為圓柱對稱，二颶風的駛流場相同，渦旋內力及柯氏力等亦均相同，都是不成立的，故二颶風中心相對作圓形運動勢無可能。

在另一方面來說，資料期間也有些個案的相對路徑不屬於理論類型的任何一種。這些個案中比較明顯的有以下幾種：(1) 民國 58 年 9 月下旬的 Flossie 與 Grace 及民國 49 年的 Carmen 與 Bess，此二颶風對的相對路徑都是像其中之一自己順轉了一接

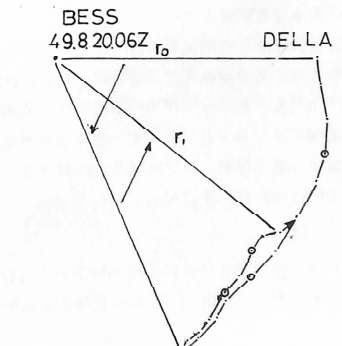


圖 4-11 49 年 8 月 Bess 與 Della 颶風

~ 99 ~

近一圈，如圖4-9所示。(二)理論上有數種由順轉變成逆轉漸近且穿過 r_0 的相對路徑(如圖3-8)，但無由逆轉變成順轉漸近且穿過 r_0 的相對路徑。實際上後者亦曾發生過。圖4-10為民國67年9月上旬颶風Irma及Judy的相對路徑圖，該路徑即屬此類。民國49年8月下旬Della與Faye的相對路徑亦同。(三)圖4-11所示為民國49年8月中旬Bess與Della雙颶風的相對路徑，二者先順轉而後又幾乎沿原路折返，亦是很特殊的實例。

綜上所述可見，交互作用在雙颶風相對運動中確扮演重要的角色，我們的簡單理論亦可解釋其特徵，但雙颶風的實際運動受制於駛流及其他內外在的因素，所以有些理論上的狀況不易發生，另外也有一些實際的狀況為理論所不能包。此一結果是正常的，也顯示此方向的研究有待加強。

五、結論

由分析純粹交互作用控制下雙颶風中心的運動方程，可知雙颶風相對運動的特徵受制於開始時二者間的距離與相對旋轉角度的變量(r_0 及 θ_0)。同時，由於二者間的作用力 F 隨 r 的變化是 r 減小 F 增加，至 r 到達臨界值 r_1 後 F 由最大值下降，故通常 r' 及 θ' 在運動過程中會改變符號，進而形成各種不同的相對路徑。根據我們的理論可得9種起始條件的10種路徑，其中8種完全不相同。對此情形本文中有詳細的分析。

其次本文也在過去25年所發生的個案中，找出了6種與理論分析結果相同的路徑，實例與理論相差者為順轉圓與逆轉圓形兩種路徑。由於在實際狀況中不可能有純粹交互作用的個案發生，故此種差異實屬必然。其次我們也提到一些理論上不能涵蓋的實例。這不但顯示了雙颶風運動的複雜性，亦顯示本問題尚待進一步研究之。

致謝

欣逢「氣象預報與分析」出刊第100期，作者特致誠摯的賀忱，並對執行編輯任務的張儀峯學弟致謝。

本文撰寫中研究助理李紀恩費了不少心力與工夫特致謝意。本文係行政院國家科學委員會NSC

~ 100 ~

73-0202-M072-02 專案補助研究計畫成果中的一部分。

參考文獻

- 王崇岳，1982：應用700mb定壓面與同步衛星雲圖預測颶風之運行。第三屆全國大氣科學研討會論文彙編。
- 陳毓雷、鮑學禮，1973：颶風移動路徑及強度之客觀預報。科學發展月刊，6，121-129。
- 蔡清彦，1978：颶風路徑之數值預報。科學發展月刊，6，4，378-387。
- 劉廣英，1975：500-700毫巴厚度與颶風移動之關係。大氣科學，2。
- 劉廣英，1984：西北太平洋及南海地區雙颶風運動特性之分析與探討。空軍氣象中心研究報告第027號。
- 劉廣英、張儀峰、李紀恩，1982：雙颶風運動特性之分析與探討。第三屆全國大氣科學研討會論文彙編。
- Brand, S., 1969: Interaction of binary tropical cyclones of Western North Pacific Ocean. J. of Applied Meteorology, Vol. 9.
- Chang, W.-J., 1983: A numerical study of the interaction between two tropical cyclones. Proceedings of CCNAA-AIT Joint Seminar on Monsoon and Tropical Meteorology. PP.139-145. Taipei, R.O.C.
- Hoover, Eugene W., 1961: Relative motion of Hurricane Pairs. Monthly Weather Review, July, 1961.
- Neumann, Charles, J., and K. Dong, 1982: On the relative motion of binary tropical cyclones. Regional Scientific Conference on Tropical Meteorology. Tsukuba, Japan.
- JTWC, 1971: Annual typhoon reports. J Joint Typhoon Warning Center, Quam, U.S.A.

A Comparative Study of the Relative Motion of Binary Typhons

Koung-Ying Liu

Abstract

The equations of relative motion of the typhoon pairs are derived based on geopotential field and under reasonable assumptions. Analytical results of the equation set show that (1) the relative motion depends on the initial conditions of $\frac{d\theta}{dt}$ and $\frac{dr}{dt}$; (2) there are 9 initial conditions with 10 different types of relative motion 8 of them are thoroughly different; (3) only 2 of the 10 different types rotate clockwise; (4) the interacting centers may move away from each other as well as toward each other, but two centers can not overlap; (5) the interacting force approaches its maxima as $r \rightarrow r_1$, which, as well, is the shortest distance between the two centers.

Cases selected from recent (1959-1983) years are analyzed. Then, actual paths are compared with the theoretical ones. The results showed that some theoretical paths could not be found in the actual ones and visavis. The reason for this difference are also discussed.